arXiv:0711.3149v1 [cs.DM] 20 Nov 2007

Approche polyédrale pour le problème du séparateur

Mémoire du stage de Master Recherche

Juin 2006

Marie-Jean MEURS

Sous la direction de Mohamed DIDI BIHA

Laboratoire Informatique d'Avignon
339, chemin des Meinajaries
Agroparc – B.P. 1228
F-84911 Avignon Cedex 9
FRANCE
marie-jean.meurs(at)univ-avignon.fr

Abstract

The vertex separator problem (VSP) in an undirected connected graph $G = (V, E)$ asks for a partition of V into nonempty subsets A, B, C such that $|C|$ is minimized subject to there is no edge between A and B, and $max\{|A|, |B|\} \leq \beta(n)$ with $\beta(n)$ integer such as $1 \leq \beta(n) \leq n$. We investigate the (VSP) in a polyhedral way, starting from the formulation given by E. Balas and C. De Souza [1]. We introduce new efficient valid inequalities. Our algorithm is based on some of the inequalities discussed here. The power of these inequalities is illustrated by the computational tests, efficiently improving the Balas and De Souza's results [2].

Résumé

Le problème du séparateur (VSP) dans un graphe connexe non orienté $G = (V, E)$ est celui de la détermination d'une partition de V en trois classes non vides A, B, C telle que $|C|$ soit minimum sous les contraintes qu'il n'existe aucune arête entre A et B et que $max\{|A|, |B|\} \leq \beta(n)$, où $\beta(n)$ est un entier tel que $1 \leq \beta(n) \leq n$. Le problème est étudié d'un point de vue polyédrique à partir de la modélisation de E. Balas et C. De Souza [1] que nous avons enrichie. En particulier, nous introduisons de nouvelles inégalités valides qui se révèlent d'une grande efficacité dans la résolution de certaines instances difficiles du problème. Notre algorithme est basé sur certaines des inégalitées présentées ici. Les résultats obtenus améliorent très sensiblement ceux de Balas et De Souza [2].

Mots clés : VSP, graphe, séparateur, polytope.

Keywords: VSP, graph, vertex separator, polyhedron.

1 Introduction

Dans un graphe connexe non orienté, un séparateur est un sous-ensemble de sommets ou d'arêtes dont la suppression déconnecte le graphe. La recherche d'un séparateur de poids minimum équilibré (dont la suppression isole deux sous-ensembles de sommets de tailles équivalentes, au plus $2n/3$) intervient dans de nombreux problèmes.

Dans le domaine des réseaux et télécommunications, un tel séparateur est vu comme un goulot d'étranglement lorsque le réseau est représenté par un graphe. Lors de l'évaluation de la capacité du réseau et de sa robustesse, il est utilisé pour la recherche de bornes inférieures et l'identification des noeuds sensibles.

Dans le domaine des algorithmes opérant sur les graphes, la connaissance des séparateurs de poids minimum équilibrés est fondamentale, en particulier pour ceux reposant sur le paradigme diviser et conquérir .

Pour exemple, on peut citer les stratégies de résolution des systèmes linéaires creux de grande taille qui font appel à ce type d'algorithmes. La taille des problèmes impose une puissance de calcul croissante et le recours aux calculateurs parallèles est un passage obligé. Ainsi, la factorisation des matrices creuses est particulièrement adaptée à la programmation parallèle. Plus la matrice est creuse, plus l'on est susceptible d'avoir de parallélisme. Il faut conserver le plus possible l'aspect creux de la matrice durant la progression de la factorisation. Dans l'exemple de la factorisation de Cholesky, méthode directe de résolution des systèmes carrés, symétriques définis positifs, la première étape de la factorisation consiste en une renumérotation des lignes de la matrice initiale pour obtenir une matrice de Cholesky la plus creuse possible [6]. La recherche de la meilleure permutation est un problème complexe necessitant le recours à des heuristiques. Les algorithmes de renumérotation (degré minimal, dissection emboitée) reposent sur les principes de la théorie des graphes. L'algorithme de dissection emboîtée repose sur le principe diviser et conquérir (*divide and conquer*). Il considère que la matrice initiale est irréductible (i.e. le système ne peut se décomposer en deux sous-systèmes indépendants) et qu'elle est donc associée à un graphe d'intersection connexe [1]. Le but de la dissection emboîtée est de faire interagir le moins possible des parties relativement indépendantes de la matrice. Pour celà, en partant du graphe initial G, on cherche un séparateur qui permettra la décomposition de G en deux sous-graphes qui pourront être traités en parallèle. La procédure est appliquée récursivement aux sous-graphes. Le parallélisme mis en évidence est tributaire de la taille des séparateurs : plus ils sont petits, meilleur est le parallélisme. Cet algorithme se décline selon plusieurs variantes (par exemple, la dissection emboitée spectrale (*Spectral Nested Dissection*) (SND) [11]) mais repose toujours sur la recherche de bons séparateurs.

Dans le domaine du traitement automatique de la langue écrite, le concept de séparateur est utilisé en classification par Berry *et al* dans les grands graphes de termes creux [3]. Les sommets du graphe sont les termes [2] du domaine considéré. Les arêtes du graphe représentent les relations syntaxiques entre les termes. L'objectif est d'obtenir, à partir de corpus textuels, des classes susceptibles de

[1] Le graphe d'intersection d'une matrice A, noté $G(A)$, a un sommet pour chaque colonne de A et une arête entre une paire de sommets si le produit scalaire des colonnes correspondantes est non nul.

[2] syntagmes nominaux de plusieurs mots susceptibles de désigner, par leurs propriétés syntaxiques et grammaticales, un objet ou une notion du domaine.

représenter des thématiques. On procède par classification hiérarchique [12] mais certaines classes restent trop grosses pour être interprétables par l'utilisateur. Elles sont alors décomposées en utilisant des séparateurs minimaux complets. La qualité de la décomposition est liée à la taille des séparateurs et à l'équilibre entre la taille des sous-classes obtenues.

Dans le domaine de la bioinformatique, les séparateurs sont recherchés dans les graphes de grille modélisant la structure des protéines. Fu *et al* [7] explorent la résolution du problème des configurations d'énergie minimale qui doivent rassembler les sommets non consécutifs occupant des positions voisines.

Formellement, le problème du séparateur (VSP) peut être énoncé de la façon suivante :

Données :

- $G = (V, E)$ un graphe connexe non orienté avec $|V| = n$,
- $\beta(n)$ entier tel que $1 \leq \beta(n) \leq n$,
- c_i coût associé à chaque sommet $i \in V$.

Objectif :

Trouver une partition $\{A, B, C\}$ de V telle que :

$$E \text{ ne contient aucune arête } (i, j) \text{ avec } i \in A\ , j \in\ B, \tag{1}$$

$$\max\{|\mathrm{A}|, |\mathrm{B}|\} \leq\ \beta(n)\ , \tag{2}$$

$$\sum_{j \in C} c_j \text{ est minimum} \tag{3}$$

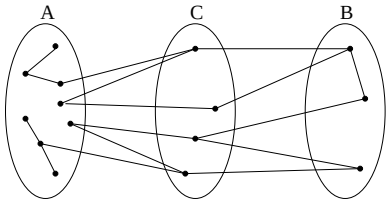

Exemple de séparateur

Le problème du séparateur (VSP) est un problème NP-difficile [4].

Le plus ancien résultat concernant les séparateurs est obtenu en 1869 par Jordan. Il démontre alors que pour chaque arbre, un seul sommet le sépare en deux parties contenant chacune moins des deux tiers de ses sommets. Lipton et Trajan [10] prouvent que tout graphe planaire possède un séparateur de taille au plus $O(\sqrt{n})$ qui le sépare en deux parties contenant chacune moins des deux tiers de ses sommets. Dans le cas où G est planaire et $\beta(n) = \frac{2n}{3}$, ils établissent qu'un séparateur de taille bornée par $2\sqrt{2}\sqrt{n}$ peut être trouvé en un temps $O(n)$. Bui, Fukuyama et Jones [5] montrent que dans le cas des graphes planaires, la détermination d'un séparateur optimal est un problème NP-difficile.

En 2005, Egon Balas et Cid De Souza réalisent la première étude polyédrale du (VSP). Ils examinent le polytope des séparateurs, enveloppe convexe des vecteurs d'incidence des partitions $\{A, B, C\}$ de V vérifiant (1) et (2). Leurs recherches sont centrées sur la relation entre séparateurs et dominants. (Un ensemble dominant S d'un graphe G est un sous-ensemble de sommets de G tel que chaque

sommet de G est soit dans S, soit voisin d'un sommet de S). Ils donnent une formulation du problème à l'aide d'un programme linéaire mixte [1] et développent parallèlement un algorithme de branch-and-cut basé sur les inégalités issues des relations entre séparateurs et dominants [2]. Les recherches de Balas et De Souza ont été notre point de départ.

Notre travail repose également sur une approche polyédrale du (VSP). La formulation de Balas et de Souza utilise des variables sur les sommets du graphe G. Nous avons adjoint plusieurs inégalités valides à celles présentées. D'une part, nous avons considéré les chaînes entre chaque paire de sommets non ajacents du graphe G, ce qui nous a permis une première minoration du cardinal de tout séparateur associé à G. D'autre part, nous avons reformulé le problème en rajoutant des variables sur les arêtes.

Dans la seconde partie de ce document, nous exposons l'approche polyédrale du problème. Nous étudions le cas particulier du VSP où $a \in A$ et $b \in B$ sont fixés. La dimension du polyèdre associé est donnée et des inégalités valides sont introduites. La troisième partie développe une modélisation du problème utilisant des variables sur les arêtes du graphe. Notre implémentation et les résultats que nous avons obtenus sont présentés dans la quatrième partie. La dernière partie expose nos conclusions et les perspectives de nos travaux.

2 Le polyèdre des séparateurs

Pour un graphe $G = (V, E)$ donné, on considère le cas particulier du VSP où deux sommets a et b non adjacents sont donnés et l'on cherche une partition $\{A, B, C\}$ satisfaisant (1) et (2) avec $a \in A$, $b \in B$ et telle que $|C|$ soit minimum. Ce cas particulier sera nommé problème du ab-séparateur . Dans cette partie, on étudie le polyèdre associé au problème du ab-séparateur. En effet, la résolution du VSP se ramène à la résolution d'au plus $\frac{n(n-2)}{2}$ sous-problèmes de ce type.
Les sommets a et b non adjacents étant fixés, le vecteur d'incidence d'une partition $\{A, B, C\}$ vérifiant (1) et (2) avec $a \in A$ et $b \in B$ est donné par $X \in \{0, 1\}^{2(n-2)}$:

$$X = (x_{1a}, ..., x_{(n-2)a}, x_{1b}, ..., x_{(n-2)b})$$

où

$$x_{ia} = 1 \Leftrightarrow i \in A,\ x_{ib} = 1 \Leftrightarrow i \in B,\ \forall i \in V \setminus \{a, b\}$$

On désigne par P_{ab} le polyèdre associé au problème du ab-séparateur, défini par :
$P_{ab} = Conv\{X \in \mathbb{R}^{2(n-2)}, \exists$ un ab-séparateur $\{A, B, C\}$ dont X est un vecteur d'incidence $\}$.
Si X est un vecteur d'incidence d'un ab-séparateur $\{A, B, C\}$, alors X vérifie :

$$x_{ia} + x_{jb} \leq 1 \qquad \forall (i, j) \in E \tag{4}$$
$$x_{ja} + x_{ib} \leq 1 \qquad \forall (i, j) \in E \tag{5}$$
$$x_{ia} + x_{ib} \leq 1 \qquad \forall i \in V \setminus \{a, b\} \tag{6}$$
$$\sum_{i=1}^{n-2} x_{ia} \leq \beta(n) - 1 \qquad \forall i \in V \setminus \{a, b\} \tag{7}$$
$$\sum_{i=1}^{n-2} x_{ib} \leq \beta(n) - 1 \qquad \forall i \in V \setminus \{a, b\} \tag{8}$$
$$x_{ia} \in \{0, 1\} \qquad \forall i \in V \setminus \{a, b\} \tag{9}$$
$$x_{ib} \geq 0 \qquad \forall i \in V \setminus \{a, b\} \tag{10}$$

Les contraintes (4) et (5) sont valides du fait de l'absence d'arêtes entre les ensembles A et B. La contrainte (6) est valide car un sommet ne peut appartenir à la fois à A et à B. Les contraintes (7) et (8) sont valides car les ab-séparateurs vérifient (2).
Balas et De Souza [1] ont montré que
$P_{ab} = Conv\left\{X \in \mathbb{R}^{2(n-2)}\ ,\ X\ vérifie\ (4)\ à\ (10)\right\}$.

2.1 Dimension du polyèdre P_{ab}

Un polyèdre P est de dimension k si le nombre maximum de points affinement indépendants de P est $k + 1$. Si $P \subseteq \mathbb{R}^k$ alors $dim(P) \leq k$.

Soient $V(a) \subset V$ et $V(b) \subset V$ les ensembles de sommets adjacents respectivement à a et à b.

Théorème 2.1

$\boldsymbol{dim(P_{ab}) = 2(n-2) - (|V(a)| + |V(b)|)}$.

Preuve :
$\star$ On obtient rapidement $dim(P_{ab}) \leq 2(n-2) - (|V(a)| + |V(b)|)$. En effet, pour tout sommet i de $V(a)$ (resp. de $V(b)$), on a $x_{ib} = 0$, $\forall X \in P_{ab}$ (resp. $x_{ia} = 0$, $\forall X \in P_{ab}$). La description minimale de P_{ab} contient donc au moins $|V(a)| + |V(b)|$ égalités, d'où la majoration de $dim(P_{ab})$.
L'égalité est obtenue par récurrence sur le nombre de sommets du graphe :
$\star$ Pour $n = 3$, on a $P_{ab} = \{(0,0)\}$ d'où $dim(P_{ab}) = 0$.
Or $2(n-2) - (|V(a)| + |V(b)|) = 0$, l'égalité est donc vérifiée.
$\star$ Supposons l'égalité vérifiée pour tout graphe dont le nombre de sommets est inférieur ou égal à $n-1$ et soit $G = (V, E)$ tel que $|V| = n$, $\{a, b\} \subset V$.
• Cas 1 : $\exists v_0 \in V \setminus \{a, b\}$ tel que $v_0 \notin V(a) \cup V(b)$.
On suppose sans perte de généralité que v_0 porte le numéro $(n-2)$ dans G.
Considérons G', le sous-graphe de G induit par $V' = V \setminus \{v_0\}$. Soit P'_{ab} le polyèdre des ab-séparateurs associés au graphe G'.
D'après l'hypothèse de récurrence, $dim(P'_{ab}) = 2(n-3) - (|V'(a)| + |V'(b)|) = p$.
P'_{ab} contient $p+1$ points affinement indépendants or $O_{\mathbb{R}^{2(n-3)}} \in P'_{ab}$ d'où P'_{ab} contient p points linéairement indépendants $X'_i = (x'^i_{1a}, ..., x'^i_{(n-3)a}, x'^i_{1b}, ..., x'^i_{(n-3)b})$, $i \in \{1, ..., p\}$.
Soient $X_1, ..., X_p$ les p points de $\mathbb{R}^{2(n-2)}$ définis par :
$X_i = (x'^i_{1a}, ..., x'^i_{(n-3)a}, \underbrace{0}_{x_{(n-2)a}}, x'^i_{1b}, ..., x'^i_{(n-3)b}, \underbrace{0}_{x_{(n-2)b}})$ $\quad i \in \{1, ..., p\}$.
Les X_i sont linéairement indépendants par construction et appartiennent à P_{ab}.
Considérons les partitions :
$\Pi_1 = \{\{a, v_0\}, \{b\}, V \setminus \{a, b, v_0\}\}$ et $\Pi_2 = \{\{a\}, \{b, v_0\}, V \setminus \{a, b, v_0\}\}$.
Π_1 et Π_2 vérifient (1) et (2) car $v_0 \notin V(a) \cup V(b)$. Soient X_{p+1} et X_{p+2} les vecteurs d'incidence associés respectivement à Π_1 et Π_2. X_{p+1} et X_{p+2} appartiennent à P_{ab}. D'où, $\{O_{\mathbb{R}^{2(n-2)}}, X_1, ..., X_{p+2}\}$ est une famille de $p+3$ points affinement indépendants. Par conséquent, $dim(P_{ab}) \geq p+2$ et $p+2 = 2(n-2) - (|V'(a)| + |V'(b)|) = 2(n-2) - (|V(a)| + |V(b)|)$.La dernière égalité vient du fait que $V(a) = V'(a)$ et $V(b) = V'(b)$. On a donc $dim(P_{ab}) = 2(n-2) - (|V(a)| + |V(b)|)$.
• Cas 2 : $v_0 \in V(a) \cup V(b)$, $\forall\, v_0 \in V \setminus \{a, b\}$.
  ∘ cas 2.1 : $\exists v_0 \in V \setminus \{a, b\}$ tel que $v_0 \notin V(b)$.
De même que dans le cas 1, on peut construire p points X_i linéairement indépendants appartenant à P_{ab}, avc $p = 2(n-3) - (|V'(A)| + |V'(b)|)$. Soit X_{p+1} le vecteur d'incidence du ab-séparateur $\{\{a, v_0\}, \{b\}, V \setminus \{a, b, v_0\}\}$. La famille $\{O_{\mathbb{R}^{2(n-2)}}, X_1, ..., X_{p+1}\}$ est une famille de $p+2$ points affinement indépendants de P_{ab}. On a donc $dim(P_{ab}) \geq p+1$ et $p+1 = 2(n-3) - (|V'(a)| + |V'(b)|) + 1 = 2(n-2) - (|V(a)| + |V(b)|)$ car $|V(a)| = |V'(a)| + 1$ et $|V(b)| = |V'(b)|$. On a donc $dim(P_{ab}) = 2(n-2) - (|V(a)| + |V(b)|)$.
Par symétrie, on obtient un résultat identique si $v_0 \notin A$.
  ∘ cas 2.2 : $V \setminus \{a, b\} = V(a) \cap V(b)$, i.e. tout point de $V \setminus \{a, b\}$ est adjacent à a et à b. On a alors $dim(P_{ab}) = 0$ or $|V(a)| = n-2$ et $|V(b)| = n-2$ d'où $2(n-2) - (|V(a)| + |V(b)|) = 0$ et $dim(P_{ab}) = 2(n-2) - (|V(a)| + |V(b)|)$.
□

2.2 Inégalités valides

Dans cette partie, nous présentons tout d'abord de nouvelles inégalités valides basées sur la structure des chaînes entre a et b. Nous nous intéressons ensuite aux inégalités associées aux sous-graphes connexes de G.

2.2.1 Inégalités de chaînes

Proposition 2.2
Soit Γ_{ab} une chaîne entre a et b et $I(\Gamma_{ab})$ l'ensemble des sommets internes à Γ_{ab}. L'inégalité $\sum_{i \in I(\Gamma_{ab})} (x_{ia} + x_{ib}) \leq |I(\Gamma_{ab})| - 1$ *est valide pour P_{ab}.*

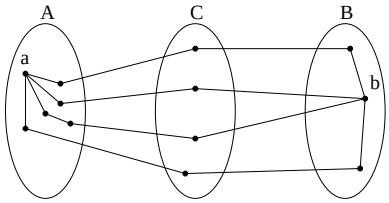

Preuve : La validité de cette inégalité vient du fait que toute chaîne entre a et b contient au moins un sommet appartenant à C avec $\{A, B, C\}$ un ab-séparateur tel que $a \in A$ et $b \in B$.

Pour toute paire (i, j) de sommets non adjacents de V, soit α_{ij} le nombre maximum de chaînes sommets-disjoints entre i et j. [3]
On déduit immédiatement de la proposition 2.2 que pour tout $\{A, B, C\}$ un ab-séparateur tel que $a \in A$ et $b \in B$, le cardinal de C est minoré par α_{ab}.

Pour chaque paire de sommets i et j non adjacents de $V \setminus \{a, b\}$, les inégalités suivantes sont valides pour P_{ab} :

$$\sum_{k=1}^{n-2} (x_{ka} + x_{kb}) - \alpha_{ij} * (2 - x_{ia} - x_{jb}) \leq n - \alpha_{ij} \tag{11}$$

$$\sum_{k=1}^{n-2} (x_{ka} + x_{kb}) - \alpha_{ij} * (2 - x_{ja} - x_{ib}) \leq n - \alpha_{ij} \tag{12}$$

Les inégalités (11) et (12) traduisent le fait que si $\{A, B, C\}$ est un ab-séparateur tel que l'un des sommets i et j est dans A et l'autre dans B, alors $|C|$ est supérieur à α_{ij}.

2.2.2 Inégalités associées aux sous-graphes connexes de $G = (V, E)$

Soit V' un sous-ensemble de V tel que le graphe G' induit par V' est connexe et que $|V'| > \beta(n)$.
Soit $\alpha_0^{V'} = Min\{\bar{\alpha}_{ij},\ i \in V',\ j \in V',\ (i, j) \notin E\}$ où $\bar{\alpha}_{ij}$ est le nombre maximum de chaînes sommets-disjoints entre i et j dans G'.

[3] Obtention de α_{ij}: on construit un réseau de transport, avec i et j pour entrée et sortie, pour lequel un flot ϕ de valeur α_{ij} maximum entre i et j détermine α_{ij} chaînes sommets-disjoints de $G = (V, E)$ entre i et j. Pour celà, on remplace dans G chaque arête par deux arcs de directions opposées puis on dédouble tout sommet x distinct e i et j par deux sommets x' et x'' reliés par un arc (x', x'') de capacité 1. Tout arc qui allait vers x est remplacé par un arc de capacité infinie allant vers x' et tout arc qui sortait de x est remplacé par un arc de capacité infinie sortant de x''. Le flot maximum entre i et j représente alors le nombre maximum de chaînes sommets-disjoints entre i et j.
Pour chaque paire (i, j) de sommets non adjacents, le flot maximum α_{ij} est obtenu à l'aide du code HI_PR d'Andrew Goldberg disponible à l'adresse `http://www.avglab.com/andrew/soft.html`. Ce code est une version plus robuste du code PRF disponible à la même adresse. Il s'agit d'une implémentation de la méthode Push-Relabel pour les problèmes de flot maximum / coupe minimum (voir [8] [9]) qui est à notre connaissance la meilleure méthode actuellement disponible pour résoudre les problèmes de flot maximum.

Proposition 2.3
L'inégalité $\sum_{i \in V'} (x_{ia} + x_{ib}) \leq |V'| - Min\{\alpha_0^{V'}\ ,\ |V'| - \beta(n)\}$ *est valide pour* P_{ab}.

Cette inégalité est intéressante dans le cas de graphes pour lesquels $\alpha_{min} = Min\{\alpha_{ij},\ i,j \in V,\ (i,j) \notin E\}$ est petit mais dont certains sous-ensembles de sommets V' induisent des sous-graphes connexes pour lesquels $\alpha_0^{V'}$ est grand.

3 Modèle sur les arêtes

3.1 Formulation

Le problème est formulé ici en utilisant des variables sur les arêtes du graphe $G = (V, E)$. On cherche donc un sous-ensemble d'arêtes $F \subseteq E$ tel que $F = F_1 \cup F_2$ avec $F_1 \cap F_2 = \emptyset$, pour lequel il existe une partition $\{A, B, C\}$ vérifiant (1) et (2), $a \in A$, $b \in B$.
F est un sous-ensemble de E arêtes-séparateur.
Le sous-graphe $(V_1 \cup V_2, F)$ induit par F, où $V_1 = A \cup B$ et $V_2 = C$, est un graphe biparti. Les résultats classiques pourront donc être utilisés ici.

Le polyèdre associé au problème des sous-ensembles arêtes-séparateurs est :
$Q_{ab} = Conv\{\chi \in \mathbb{R}^E,\ \exists$ un arêtes-séparateur dont χ est le vecteur d'incidence $\}$.

Pour toute chaîne Γ , $\chi(\Gamma) = \sum_{e \in \Gamma} \chi(e)$. On note Γ_{ab} une chaine entre a et b.

Si χ est vecteur d'incidence d'un arêtes-séparateur F, alors χ vérifie les inégalités suivantes :

$$\chi(\Gamma_{ab}) \geq 2 \qquad \forall\, \Gamma_{ab} \tag{13}$$

$$\chi(\Gamma) - \chi(\Gamma_{ab} \setminus \Gamma) \leq |\Gamma| - 1 \qquad \forall\, \Gamma_{ab} \quad avec\, \Gamma \subseteq \Gamma_{ab}\ et\ |\Gamma|\ est\ impair \tag{14}$$

$$\chi(\Gamma) - \chi(\Phi \setminus \Gamma) \leq |\Gamma| - 1 \qquad \forall\, \Phi\ cycle \quad avec\, \Gamma \subseteq \Phi\ et\ |\Gamma|\ est\ impair \tag{15}$$

$$\chi(e) \in \{0, 1\} \qquad \forall\, e \in E \tag{16}$$

Les inégalités (13) et (14) résultent de l'appartenance de a et b à la même classe d'un graphe biparti : toutes les chaînes les reliant dans ce graphe sont paires et de longueur supérieure ou égale à 2. L'inégalité (15) traduit l'absence de cycle impair dans un graphe biparti.

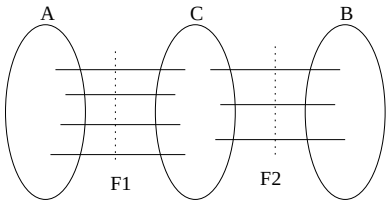

$F = F_1 \cup F_2$ un arêtes-séparateur

Proposition 3.1
$Q_{ab} = Conv\{\chi \in \mathbb{R}^E\ :\ \chi\ vérifie\ (13)\ à\ (16)\}$

Soit $\bar{Q}_{ab}$ le polyèdre défini par :
$\bar{Q}_{ab} = Conv\{\chi \ : \ \chi \, vérifie \ (13) \ à \ (15) \ et \ 0 \leq \chi(e) \leq 1, \ \forall e \in E\}$.
$\bar{Q}_{ab}$ est le polyèdre issu de la relaxation du système précédent.

On a immédiatement $Q_{ab} \subseteq \bar{Q}_{ab}$ mais $Q_{ab} \neq \bar{Q}_{ab}$. En effet, l'exemple ci-dessous exhibe un point extrême fractionnaire de $\bar{Q}_{ab}$:
$\chi = (\frac{1}{2}, 1, 1, \frac{1}{2}, \frac{1}{2}, 1, 1, \frac{1}{2}, \frac{1}{2}, 1, 1, \frac{1}{2})$.

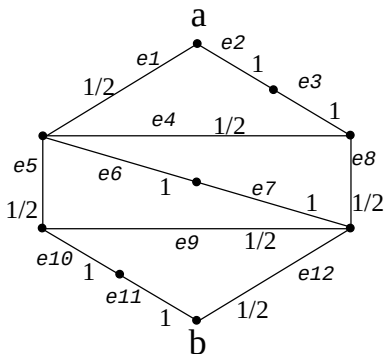

Point extrême fractionnaire du système relaxé

Ce point viole l'inégalité
$\chi(e_1) + \chi(e_4) + \chi(e_8) + \chi(e_{12}) \geq \chi(e_2) + \chi(e_3) + \chi(e_6) + \chi(e_7) - 1$
qui est valide pour Q_{ab}.

4 Implémentation et résultats expérimentaux

4.1 Modèle

<u>Données :</u>

- $G = (V, E)$ un graphe connexe non oriente
- $\beta(n)$ entier tel que $1 \leq \beta(n) \leq n$, (ici, $\beta(n) = \frac{2n}{3}$)
- a, b affectés respectivement à A et B (ici a, b sont des sommets fictifs)
- $\alpha_{min} = \text{Min}\{\alpha_{ij}, \quad i \in V,\ j \in V,\ (i,j) \notin E\}$

Sans perte de généralité, on peut supposer que $|A| \leq |B|$. Comme on a également $|A| + |B| \leq n - \alpha_{min}$, il en résulte $|A| \leq \lfloor \frac{n-\alpha_{min}}{2} \rfloor$, ce qui est traduit par (22) dans notre modélisation.

Modélisation :

$$\text{Maximiser} \sum_{i=1}^{n}(x_{ia} + x_{ib})$$

$$s.c. :$$

$$x_{ia} \in \{0,1\}, \qquad \forall i \in V \tag{17}$$

$$x_{ia} + x_{ib} \geq 1, \qquad \forall i \in V \tag{18}$$

$$x_{ia} + x_{jb} \geq 1, \qquad \forall (i,j) \in E \tag{19}$$

$$x_{ja} + x_{ib} \geq 1, \qquad \forall (i,j) \in E \tag{20}$$

$$\sum_{i=1}^{n}(x_{ia} + x_{ib}) \leq n - \alpha_{min} \tag{21}$$

$$1 \leq \sum_{i=1}^{n} x_{ia} \leq \lfloor \frac{n - \alpha_{min}}{2} \rfloor \tag{22}$$

$$1 \leq \sum_{i=1}^{n} x_{ib} \leq \beta(n) \ , \ 1 \leq \sum_{i=1}^{n} x_{ia} \leq \beta(n), \tag{23}$$

4.2 Résultats

Nous avons travaillé exclusivement sur les instances étudiées par Balas et De Souza pour disposer d'éléments de comparaison. Notre programme linéaire mixte a été résolu en utilisant les APIs orientées objet Concert Technology pour C++ du solveur Ilog Cplex 9.0. Tous les tests ont été réalisés sur un pc portable équipé d'un processeur Intel Pentium M 740 (fréquence 1,73 GHz) et de 1GB de RAM (DDR2). Balas et De Souza ont utilisé le solveur XPRESS dont les performances sont comparables à celles d'Ilog Cplex. En revanche, leurs résultats sont obtenus sur un pc de bureau plus puissant que le nôtre (Intel Pentium 4 à 2,5 GHz et 2GB de RAM).

Tous les graphes ont moins de 150 sommets excepté `myciel7` qui en a 191. Pour chaque série d'instances, un tableau présenté en annexe rassemble les caractéristiques des graphes qui les composent. Ce tableau fournit le nombre de sommets de chaque graphe, le nombre d'arêtes, la densité, la borne $\beta(n)$ associée et la valeur de $\frac{\alpha_{min}}{n}$ qui donne une première indication sur l'efficacité éventuelle de la minoration du cardinal de C par α_{min}.

4.2.1 Instances DIMACS

Les instances de cette catégorie sont issues du challenge DIMACS sur la coloration de graphe et disponibles à l'adresse :
`http://mat.gsia.cmu.edu/COLOR/instances.html`
Nos résultats sont présentés dans les tableaux qui suivent. La deuxième colonne indique le nombre de noeuds que nous avons obtenus, la troisième donnant la valeur correspondante pour Balas et De Souza. Les quatrième et cinquième colonnes indiquent respectivement le temps nécessaire à la résolution de l'instance par notre algorithme et par celui de Balas et De Souza. L'ajout d'un astérisque précise que l'instance n'a pas été résolue à l'optimale par Balas et De Souza dans le temps imparti (1800 secondes). Balas et De Souza ont utilisé plusieurs méthodes, nous avons systématiquement rapporté leur meilleur résultat, le critère de choix étant le temps de calcul.

Table 1: Résultats pour les instances DIMACS

Instance	*nb. noeuds*	*nb. noeuds B.S.*	*temps(s)*	*temps(s) B.S.*
david	113	52	0.984	0.19
DSJC125.1	132000	218098	(1800)	(1800) $\star$
DSJC125.1	523328	218098	9783.080	(1800) $\star$
DSJC125.5	120	16768	8.610	(1800)
DSJC125.9	0	34241	0.703	794.36
games120	8088	96920	121.047	429.02
miles500	145	318	7.156	2.11
miles750	938	369	62.797	9.83
miles1000	168	65	19.062	13.62
myciel3	0	19	0.000	0.00
myciel4	37	48	0.109	0.03
myciel5	290	169	0.828	0.28
myciel6	551	458	12.094	5.14
myciel7	14737	2441	880.875	160.59
queen6_6	0	81	0.016	1.42
queen7_7	0	263	0.063	7.78
queen8_8	0	3533	0.031	42.44
queen8_12	3175	162911	77.297	(1800) $\star$
queen9_9	959	291471	14.375	1067.5
queen10_10	5412	126778	105.765	(1800) $\star$
queen11_11	13410	55220	456.781	(1800) $\star$
queen12_12	24635	25897	1245.080	(1800) $\star$
moyenne	**9751**	**49339**	**229.223**	**634.97**

En comparant nos résultats à ceux de Balas et De Souza sur les instances DIMACS, nous obtenons :

- un nombre moyen de noeuds de 9751 contre 49339.
- un temps moyen de résolution de 229,223 secondes contre 634,97.
- 20 solutions optimales (en moins de 30 minutes) contre 15.

On constate en particulier une très bonne efficacité de notre méthode sur les instances de types n-reines, pour lesquelles α_{min} est élevé, ainsi que sur `DSJC125.5` (α_{min}=51) et `DSJC125.9` (α_{min}=103) résolues à l'optimal respectivement en 8,61s (120 noeuds) et 0,703s (0 noeuds) alors que la première n'est pas résolue en moins de 30 minutes par Balas et De Souza et que la seconde est résolue en 794,36s. Pour l'instance `DSJC125.1`, la meilleure valeur entière obtenue par Balas et De Souza en 30 minutes est 89 avec une borne supérieure à 102,16. Nous obtenons dans le même temps une meilleure valeur entière de 91 avec une borne supérieure à 101. Nous obtenons une solution optimale en 9783,080 secondes et la valeur de l'objectif est alors de 91, soit notre meilleure valeur entière après 30 minutes de calcul.

4.2.2 Instances MatrixMarket

Cette catégorie d'instances contient les graphes d'intersection de matrices de systèmes linéaires de type $Ax = b$. Le graphe d'intersection d'une matrice A, noté

$G(A)$, a un sommet pour chaque colonne de A et une arête entre une paire de sommets si le produit scalaire des colonnes correspondantes est non nul. L'existence d'une arête (i, j) dans $G(A)$ signifie donc qu'il existe une équation dans $Ax = b$ dans laquelle les deux variables x_i et x_j ont des coefficients non nuls. Ainsi, si le système linéaire est résolu par une méthode de type diviser pour résoudre (*divide and conquer*), il pourra être divisé en deux sous-systèmes plus petits résolus séparément. La solution complète de ces sous-systèmes dépend des valeur des variables appartenant aux deux sous-systèmes. Le coût algorithmique de la fusion des sous-systèmes nécessaire à l'obtention de la solution du système original augmente avec le nombre de variables communes aux sous-systèmes. L'efficacité de l'algorithme impose aussi que la taille des sous-systèmes soit bornée par une fraction de la taille du système initial. Le problème du choix de la meilleure façon de partitionner le système linéaire se ramène donc à un VSP défini sur $G(A)$. Les matrices utilisées pour construire ces instances peuvent être obtenues à l'adresse `http://math.nist.gov/MatrixMarket`. Elles correspondent à des problèmes pratiques issus de la physique, la météo, l'économie, etc. A partir de ces matrices, Balas et De Souza ont construit trois catégories d'instances, MM-I, MM-II et MM-HD, selon les propriétés des matrices d'origine (voir [2]). Elles peuvent être obtenues à l'adresse :
`http://www.ic.unicamp.br/~cid/Problem-instances/VSP.html`

Les graphes de la catégorie MM-I ont au moins 20 et au plus 100 sommets. Leur densité varie de $0,06$ à $0,67$

Table 2: Résultats pour les instances MatrixMarket MM_I

Instance	*nb. noeuds*	*nb. noeuds B.S.*	*temps(s)*	*temps(s) B.S.*
ash219	137	111	1.187	0.18
dwt72	26	59	0.500	0.07
can62	57	119	0.500	0.15
dwt66	8	31	0.312	0.06
bcspwr02	49	51	0.484	0.06
dwt__59	137	201	0.969	0.30
bcspwr01	13	13	0.125	0.02
ash85	593	971	8.610	2.87
dwt87	109	241	3.031	0.90
impcol_b	428	380	1.532	0.59
west0067	195	185	1.578	0.51
will57	55	17	0.531	0.05
can96	7787	259231	154.921	1131.60
steam3	108	313	1.828	0.81
curtis54	77	167	0.625	0.20
can73	1138	6997	8.266	21.82
bfw62a	7	11	0.579	0.05
ibm32	69	72	0.313	0.07
pores_1	48	7	0.204	0.09
can61	90	5	2.109	0.82
bcsstk01	0	39	0.063	1.63
can24	0	17	0.000	0.05
fidapm05	44	5	0.422	0.10
fidap005	28	5	0.109	0.04
moyenne	**467**	**11219**	**7.867**	**48.46**

En comparant nos résultats à ceux de Balas et De Souza sur les instances MM-I, nous obtenons :

- un nombre moyen de 467 noeuds contre 11219.
- un temps moyen de résolution de 7,867 secondes contre 48,46.

Les graphes de la catégorie MM-II ont au moins 104 et au plus 147 sommets. Ils ont été obtenus à partir de matrices dont le nombre de colonnes varie entre 100 et 200. Le préfixe `L125` est ajouté au nom de la matrice initiale lorsque le graphe est issu de la sous-matrice formée de ses 125 premières colonnes. La densité de ces graphes varie de $0,05$ à $0,93$. En comparant nos résultats à ceux de Balas et

Table 3: Résultats pour les instances MatrixMarket MM_II

Instance	*nb. noeuds*	*nb. noeuds B.S.*	*temps(s)*	*temps(s) B.S.*
L125.ash608	142	82	2.375	0.50
L125.will199	135	119	2.562	0.35
L125.west0167	69	73	1.906	0.22
ash331	183	212	2.812	0.82
west0132	105	85	4.297	0.42
rw136	1635	17386	28.875	57.57
bcspwr03	99	73	2.422	0.38
gre__115	5573	6659	82.812	28.77
L125.dw__162	469	214	8.360	1.15
L125.can__187	786	5353	16.984	23.22
L125.gre__185	1300	2337	30.578	31.40
L125.can__161	15063	218627	580.797	(1800) $\star$
L125.lop163	308	6319	16.031	33.22
can__144	1362	64203	31.250	443.49
lund_a	385	2705	45.891	155.29
L125.bcsstk05	331	2301	30.812	54.29
L125.dwt__193	259	129	29.719	73.74
L125.fs_183_1	240	1175	35.016	36.21
bcsstk04	600	89	26.796	80.01
arc130	268	129	99.328	137.42
moyenne	**1466**	**16414**	**53.981**	**147.92**

De Souza sur les instances MM-II, nous obtenons :

- un nombre moyen de 1466 noeuds contre 16414.
- un temps moyen de résolution de 53,981 secondes contre 147,92.
- toutes nos solutions sont optimales (en moins de 30 minutes) y compris pour `L125.can__161` non résolue par Balas et De Souza.

Les graphes de la catégorie MM-HD ont tous une densité supérieure à $0,35$. Ils contiennent 80, 100 ou 120 sommets. Les préfixes `L80, L100 et L120` sont ajoutés au nom de la matrice initiale lorsque le graphe est issu de la sous-matrice formée de ses 80, 100 ou 120 premières colonnes.

Table 4: Résultats pour les instances MatrixMarket MM-HD

Instance	*nb. noeuds*	*nb. noeuds B.S.*	*temps(s)*	*temps(s) B.S.*
L100.steam2	175	167	8.781	30.98
L100.cavity01	115	7	10.657	3.52
L80.cavity01	125	15	4.578	2.22
L80.fidap025	52	7	2.625	1.14
L120.fidap025	82	21	9.61	9.27
L80.steam2	115	29	4.218	3.15
L100.fidap021	119	5	5.469	2.64
L100.fidap025	310	11	13.578	5.41
L120.cavity01	138	15	16.375	16.57
L120.fidap021	192	27	16.765	17.36
L80.fidap021	99	7	4.031	2.43
L120.rbs480a	209	233	21.282	98.84
L120.wm2	171	33	18.781	19.27
L100.rbs480a	156	63	13.953	11.91
L80.wm3	184	13	8.406	3.81
L80.wm1	155	59	8.64	11.13
L80.rbs480a	43	5	3.5	0.97
L80.wm2	153	15	7.36	2.89
L100.wm3	179	9	19.656	4.79
L120.e05r0000	82	11	9.828	7.51
L100.wm1	196	27	27.782	11.65
L120.fidap022	219	177	30.782	94.06
L100.wm2	190	15	18.485	7.37
L100.fidapm02	255	13	25.125	6.35
L120.fidap001	237	27	37.532	22.56
L100.e05r0000	120	47	7.937	14.94
L120.fidapm02	223	11	42.953	12.29
L80.fidapm02	50	7	3.281	1.97
L100.fidap001	100	39	5.141	9.82
L100.fidap022	168	143	13.985	30.62
L80.e05r0000	133	3	7.937	0.96
L80.fidap001	84	1	3.14	0.98
L80.fidap022	75	171	2.172	10.05
L80.fidap002	83	9	3.328	1.71
L80.fidap027	81	3	4.469	1.18
L100.fidap027	187	5	23.437	4.15
L100.fidap002	102	3	6.234	2.38
L120.fidap002	121	71	10.453	37.86
L120.fidap027	229	9	50.719	9.07
moyenne	**146**	**39**	**13.666**	**13.74**

En comparant nos résultats à ceux de Balas et De Souza sur les instances MM-HD, nous obtenons un nombre moyen de 146 noeuds contre 39 et un temps moyen de résolution de 13,666 secondes contre 13,74.

4.3 Synthèse

Il semble à l'issue de ces tests que notre algorithme soit plus performant que celui de Balas et De Souza sur les instances difficiles. Ses performances sont directement liées à la structure du graphe initial. En effet, la séparation d'un graphe dans lequel toute paire de sommets non adjacents est associée à un nombre élevé de chaînes sommets-disjoints est extrèmement rapide pour les instances testées. Les exemples de DSJC125.5, DSJC125.9, queen10_10, queen9_9 mettent en évidence ce constat. Sur ces quatre instances pour lesquelles α_{min} est élevé, nous explorons en moyenne 1623 noeuds contre 117314 pour Balas et De Souza. Notre temps de résolution moyen est de 32,363 secondes et toutes nos solutions sont optimales. Balas et De Souza résolvent seulement deux de ces instances à l'optimal en 930,93 secondes en moyenne. La densité du graphe initial affecte les performances de l'algorithme de Balas et De Souza. Notre algorithme est pour sa part mieux adapté au traitement des graphes denses, susceptibles d'être dotés de valeurs élevées pour α_{min}.

5 Conclusions et perspectives

Dans ce rapport, nous étudions une formulation du problème du séparateur d'un graphe $G = (V, E)$ connexe non orienté grâce à un programme linéaire mixte, donné par Balas et De Souza, que nous avons enrichi. Nos travaux nous ont permis d'obtenir la dimension du polyèdre P_{ab} associé aux ab-séparateurs du graphe, enveloppe convexe de l'ensemble des vecteurs d'incidence des partitions de V vérifiant le VSP avec a et b fixés. Nous avons introduit de nouvelles inégalités valides en considérant les chaînes sommets-disjoints entre a et b. L'algorithme que nous avons implémenté utilise ces inégalités et nous permet d'améliorer sensiblement les résultats obtenus par Balas et De Souza [2].
Nous proposons parallèlement un modèle introduisant des variables sur les arêtes du graphe.

Nous poursuivons actuellement notre étude du VSP dans une direction théorique et dans une direction expérimentale. Du point de vue théorique, l'approche polyédrale du problème nous conduit à rechercher les facettes définies par les inégalités valides de notre modélisation. Nous souhaitons également compléter le modèle utilisant des variables sur les sommets par l'ajout de celui utilisant des variables sur les arêtes pour poursuivre la recherche de nouvelles inégalités valides améliorant la description polyédrale du problème. Du point de vue expérimental, nous travaillons à la mise au point de stratégies de séparation des inégalités que nous avons introduites. Nous préparons également une série de tests qui nous permettra d'évaluer l'efficacité de notre algorithme sur des instances de grandes tailles.

References

[1] Egon Balas and Cid C. de Souza. The vertex separator problem : a polyhedral investigation. *Mathematical Programming*, 103(3):583–608, July 2005.

[2] Egon Balas and Cid C. de Souza. The vertex separator problem : algorithms and computations. *Mathematical Programming*, 103(3):603–631, July 2005.

[3] Anne Berry, Bangaly Kaba, Mohamed Nadif, Eric SanJuan, and Alain Sigayret. Classification et désarticulation de graphes de termes. *JADT2004 : 7ème Journées internationales d'Analyse statistique des Données Textuelles*, 1:160–170, 2004.

[4] Thang Nguyen Bui and Curt Jones. Finding good approximate vertex and edge partitions is np-hard. *Information Processing Letters*, 42, Issue 3 (May 1992):153 – 159, 1992.

[5] T.N. Bui, J. Fukuyama, and C. Jones. The planar vertex separator problem : Complexity and algorithms. *Manuscript*, 1994.

[6] Jocelyne Erhel, Mounir Hahad, and Thierry Priol. Factorisation parallèle de cholesky pour matrices creuses sur une mémoire virtuelle partagée. *Rapport de Recherche - Architecture parallèle*, 1988, 1993.

[7] Bin Fu, Sorinel A Oprisan, and Lizhe Xu. Multi-directional width-bounded geometric separator and protein folding. *ISAAC*, 2005.

[8] Andrew V. Goldberg. An efficient implementation of a scaling minimum-cost flow algorithm. *J. Algorithms*, 22:1–29, 1997.

[9] Andrew V. Goldberg. On implementing push-relabel method for the maximum flow problem. *Algorithmica*, 19:390–410, 1997.

[10] R.J. Lipton and R.E. Tarjan. A separator theorem for planar graphs. *SIAM J. Numer. Anal.*, 36:177–189, 1979.

[11] Alex Pothen, Horst D. Simon, Lie Wang, and Stephen T. Barnard. Towards a fast implementation of spectral nested dissection. *Conference on High Performance Networking and Computing - Proceedings of the 1992 ACM/IEEE conference on Supercomputing*, pages 42 – 51, 1992.

[12] Eric SanJuan and Fidelia Ibekwe-SanJuan. Termwatch : classification non supervisée de termes et exploration de graphes syntaxiques. *Atelier Fouille de données et recherche d'informations*, 2003.

Annexes :

Ces annexes rassemblent les caractéristiques des graphes qui composent les séries d'instances sur lesquelles nous avons travaillé. Dans chaque tableau, n est le nombre de sommets, e est le nombre d'arêtes, d est la densité du graphe ($d = \frac{2e}{n(n-1)}$), $\beta(n)$ est la borne sur le cardinal des ensembles A et B ($\beta(n) = \frac{2n}{3}$), α_{min} est le nombre minimum de sommets appartenant au séparateur C.

A Instances DIMACS

Table 5: Instances DIMACS

Instance	n	e	d	$\beta(n)$	α_{min}	α_{min}/n
david	87	406	0.11	58	1	0.011
DSJC125.1	125	736	0.09	83	5	0.040
DSJC125.5	125	3891	0.50	83	51	0.408
DSJC125.9	125	6961	0.90	83	103	0.824
games120	120	638	0.09	80	2	0.017
miles500	128	1170	0.14	85	2	0.016
miles750	128	2213	0.26	85	6	0.047
miles1000	128	3216	0.40	85	11	0.086
myciel3	11	20	0.36	7	3	0.273
myciel4	23	71	0.28	15	4	0.174
myciel5	47	236	0.22	31	5	0.106
myciel6	95	755	0.17	63	6	0.063
myciel7	191	2360	0.13	127	7	0.037
queen6_ 6	36	290	0.46	24	15	0.417
queen7_ 7	49	476	0.40	32	18	0.367
queen8_ 8	64	728	0.36	42	21	0.328
queen8_ 12	96	1368	0.30	64	25	0.260
queen9_ 9	81	1056	0.33	54	24	0.296
queen10_ 10	100	1470	0.30	66	27	0.270
queen11_ 11	121	1980	0.27	80	30	0.248
queen12_ 12	144	2596	0.25	96	33	0.229

B Instances MatrixMarket

Table 6: Instances MatrixMarket MM-I

Instance	n	e	d	$\beta(n)$	α_{min}	α_{min}/n
ash219	85	219	0.06	56	2	0.024
dwt72	72	170	0.07	48	2	0.028
can62	62	210	0.11	41	2	0.032
dwt66	66	255	0.12	44	4	0.061
bcspwr02	49	177	0.15	32	2	0.041
dwt__59	59	256	0.15	39	3	0.051
bcspwr01	39	118	0.16	26	2	0.051
ash85	85	616	0.17	56	6	0.071
dwt87	87	726	0.19	58	4	0.046
impcol_b	59	329	0.19	39	3	0.051
west0067	67	411	0.19	44	3	0.045
will57	57	304	0.19	38	2	0.035
can96	96	912	0.20	64	14	0.146
steam3	80	712	0.23	53	8	0.100
curtis54	54	337	0.24	36	5	0.093
can73	73	652	0.25	48	10	0.137
bfw62a	62	639	0.34	41	3	0.048
ibm32	32	179	0.36	21	4	0.125
pores_1	30	179	0.41	20	5	0.167
can61	61	866	0.47	40	12	0.197
bcsstk01	48	622	0.55	32	18	0.375
can24	24	156	0.57	16	8	0.333
fidapm05	42	528	0.61	28	12	0.286
fidap005	27	234	0.67	18	9	0.333

Table 7: Instances MatrixMarket MM_II

Instance	n	e	d	$\beta(n)$	α_{min}	α_{min}/n
L125.ash608	125	390	0.05	83	2	0.016
L125.will199	125	386	0.05	83	1	0.008
L125.west0167	125	444	0.06	83	1	0.008
ash331	104	331	0.06	69	2	0.019
west0132	132	560	0.06	88	1	0.008
rw136	136	641	0.07	90	1	0.007
bcspwr03	118	576	0.08	78	2	0.017
gre__115	115	576	0.09	76	3	0.026
L125.dw__162	125	943	0.12	83	6	0.048
L125.can__187	125	1022	0.13	83	12	0.096
L125.gre__185	125	1177	0.15	83	6	0.048
L125.can__161	125	1257	0.16	83	12	0.096
L125.lop163	125	1218	0.16	83	9	0.072
can__144	144	1656	0.16	96	18	0.125
lund_a	147	2837	0.26	98	11	0.075
L125.bcsstk05	125	2701	0.35	83	17	0.136
L125.dwt__193	125	2982	0.38	83	21	0.168
L125.fs_183_1	125	3392	0.44	83	1	0.008
bcsstk04	132	5918	0.68	88	48	0.364
arc130	130	7763	0.93	86	21	0.162

Table 8: Instances MatrixMarket MM-HD

Instance	n	e	d	$\beta(n)$	α_{min}	α_{min}/n
L100.steam2	100	1766	0.36	66	16	0.160
L100.cavity01	100	1844	0.37	66	8	0.080
L80.cavity01	80	1201	0.38	53	8	0.100
L80.fidap025	80	1201	0.38	53	12	0.150
L120.fidap025	120	2787	0.39	80	18	0.150
L80.steam2	80	1272	0.40	53	12	0.150
L100.fidap021	100	2028	0.41	66	15	0.150
L100.fidap025	100	2031	0.41	66	12	0.120
L120.cavity01	120	2972	0.42	80	8	0.067
L120.fidap021	120	3058	0.43	80	15	0.125
L80.fidap021	80	1347	0.43	53	11	0.138
L120.rbs480a	120	3273	0.46	80	23	0.192
L120.wm2	120	3387	0.47	80	1	0.008
L100.rbs480a	100	2550	0.52	66	26	0.260
L80.wm3	80	1739	0.55	53	1	0.013
L80.wm1	80	1786	0.57	53	2	0.025
L80.rbs480a	80	1819	0.58	53	18	0.225
L80.wm2	80	1848	0.58	53	1	0.013
L100.wm3	100	2934	0.59	66	1	0.010
L120.e05r0000	120	4177	0.59	80	30	0.250
L100.wm1	100	2956	0.60	66	1	0.010
L120.fidap022	120	4307	0.60	80	30	0.250
L100.wm2	100	3039	0.61	66	1	0.010
L100.fidapm02	100	3090	0.62	66	27	0.270
L120.fidap001	120	4482	0.63	80	35	0.292
L100.e05r0000	100	3153	0.64	66	30	0.300
L120.fidapm02	120	4626	0.65	80	27	0.225
L80.fidapm02	80	2058	0.65	53	27	0.338
L100.fidap001	100	3379	0.68	66	36	0.360
L100.fidap022	100	3359	0.68	66	38	0.380
L80.e05r0000	80	2150	0.68	53	19	0.238
L80.fidap001	80	2288	0.72	53	26	0.325
L80.fidap022	80	2403	0.76	53	39	0.488
L80.fidap002	80	2422	0.77	53	27	0.338
L80.fidap027	80	2518	0.80	53	24	0.300
L100.fidap027	100	4014	0.81	66	27	0.270
L100.fidap002	100	4057	0.82	66	34	0.340
L120.fidap002	120	5886	0.82	80	52	0.433
L120.fidap027	120	6051	0.85	80	35	0.292